

吊橋架設時の変形および応力解析

建設省　○沢井広之

田中達之

大日本コンサルタント 小神野竹男

1 まえがき

吊橋の構造解析理論はすでに 1700 年後半頃から論じられており今日では機度理論に基く精密計算が実用化されている。しかし、架設段階における吊橋のケーブル、補剛トラスに生ずる変形や応力に関する研究は少ない。特に架設時の耐風剛性を増すために補剛トラスを順次に閉合しながら架設する場合には問題はさらに複雑でこれに関する研究はほとんど見当らない。このような吊橋架設時の変形応力の解析は吊材を巨視的に一枚の膜とみなし、又、ケーブル形状が常に放物線であると仮定する機度理論では不可能である。このためハンガーを各々一部材と見なした一種の変形理論を用いて架設段階での変形や応力を計算し、架設が進むにつれてこれらがどのように変動するかを追跡して架設中の補剛トラスに過大な応力を生じさせないような架設方法、順序を見出すと共に、完成時に所定の形状を得るために各架設地点でどのような形状であるべきかを 2, 3 の點について検討した。

2 理論解析

1 ケーブル形状の計算

吊橋の基本となるケーブルの形状を知る事は吊橋だけでなくケーブル、エレークションにも応用される。ケーブルを扱う場合大きくわけて次の 2 点が問題になる。

1) 無応力時のケーブル形状を与える荷重によるケーブルの変形と応力を求める問題。

2) ケーブルにある何重を載荷した時ケーブルがあらかじめ与えられている位置におさまるようなもののケーブルの形状を求める問題

ほとんどの場合 1), 2) は同時に使うケースが多い、原理的にはケーブルを引張で解くか、圧縮で解くかの違いだけで、そのあつかいは全く同じである。

ここでは引張について説明する。

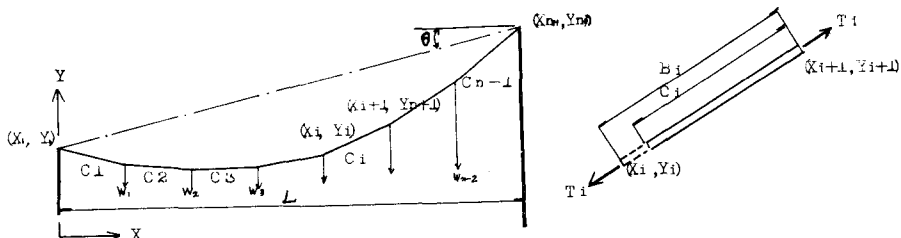


図 - 1

図 2-1 に示すようにケーブルは多角形に折り曲げられた線形から出来ているものとする。ケーブ

ル支間 (L) を単純梁の支間と仮定した時の荷重による曲げモーメントをMと表わし、その時の最大曲げモーメントをM_{max}とするとき分布荷重の場合は $M = a \cdot x = \frac{w \cdot x^2}{2}$ である。

$$\text{一方ケーブルの水平張力は } H = \frac{w \cdot L^2}{B \cdot F_{max}} \text{ であるからこの二式より } H = \frac{M_{max}}{F_{max}} \quad (1-1)$$

が成り立ち、ケーブルの任意節点X_iの基準線からの絶対Y_iはケーブルの左右支点を結ぶ直線の傾きをθとすると $Y_i = \tan \theta \cdot X_i - M_i / H \quad (1-2)$

で表わされる。

$$\text{この時のケーブルの長さ } B_{i+1} \text{ は } B_{i+1} = \sqrt{(X_{i+1} - X_i)^2 + (Y_{i+1} - Y_i)^2} \quad (1-3)$$

$$\text{でケーブル張力 } T_{i+1} \text{ は次のようになる。 } T_{i+1} = H \cdot B_{i+1} / (X_{i+1} - X_i) \quad (1-4)$$

もし、初期値として与えたケーブル位置が正しければ、B_{i+1}から張力によるケーブルの伸びを引くと無応力時のケーブルの長さC_{i+1}になるはずである。しかし、上の計算は近似計算であるからこのようにはならない。すなわち、C_{i+1} = C'_{i+1}である。

$$\text{ただし, } C'_{i+1} = B_{i+1} - T_{i+1} \cdot C_{i+1} / E_c \cdot A_c - \alpha \cdot t \cdot C_{i+1} \quad (1-5)$$

この差はサグの修正によつて取りのぞく事にする。

修正量△F_iは

$$\Delta F = \frac{F \cdot (\sum_{j=1}^n C'_j - \sum_{j=1}^n C_j)}{\sqrt{L^2 + 16 \cdot F^2 + A^2} - L_c} \quad (1-6)$$

$$\text{但し, } L_c = \int_0^L \sqrt{1+(y')^2} dx = \int_0^L \sqrt{1 + \{4 \cdot F/L^2 \cdot (L - 2 \cdot x) + A/L\}^2} dx$$

$$\text{もし, } \Delta F > \varepsilon F \quad (\varepsilon \text{は精度}) \text{ となる場合には } F_{i+1} = F_i - \Delta F \quad (1-7)$$

の修正を行ない $\Delta F < \varepsilon F$ になるまで (1-1) ~ (1-7) 式の計算をくり返す。

以上は垂直方向の修正であるが水平方向の修正も行なわなければならない。このためには各区間の水平張力を補正する。

$$\text{ケーブルの張力 } T_{i+1} \text{ は } T_{i+1} = E_c \cdot A_c / B_{i+1} \cdot (B_{i+1} - C_{i+1}) \quad (1-8)$$

$$\text{であり、水平張力 } H_{i+1} \text{ は } H_{i+1} = T_{i+1} \cdot (X_{i+1} - X_i) / C_{i+1} \quad (1-9) \text{ である。}$$

全径間を通じて水平張力H_iは同じでなければならぬが上で求めた変形が正しくないため、各区间で、 $\Delta H_{i+1} = H_{i+1} - H_{mean} \quad (1-9)'$

の誤差を生じている（ただしH_{mean}は (1-9) 式で求めたH_{i+1}の平均値である。）これはハンガーリンクを変える事によつて修正する。

$$\text{新しいハンガー間隔 } X'_{i+1} \quad (= X_{i+1} - X_i) \text{ は, } X'_{i+1} = X_{i+1} - \Delta H_{i+1} \cdot X'_{i+1} / E_c \cdot A_c \quad (1-10)$$

で求める。吊橋の全长は変わらないから新しいX_iによる長さの合計L' = $\sum_{i=1}^n X'_i$ とLとは一致しなければならないが、計算誤差、その他のためL' ≠ Lとなるおそれがあるのでこれも次式で補正する。

$$X'_i = X'_i - (L' - L) \cdot X'_i / L \quad (1-11)$$

新しいX_iに対するL'を求め、 $\Delta H_i < \varepsilon H$ になる迄 (1-1) ~ (1-11) 式をくり返す。なお多径間の場合には△H_iによるX_iの修正は全径間を通じて行ない△F_iの修正は径間ごとに行なえばよい。

2. 刚性マトリックスの計算

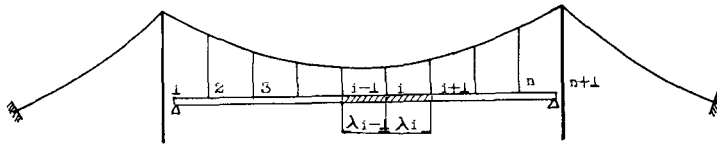


図 2-2

図 2-2 に示すように補剛トラスを λ 分割し、節点間の各々の長さを λ い、断面二次モーメントを I_{x_i} で表わす事にする。ケーブルと同様に外力は各節点に集中荷重として作用するものとし、1 節点の前後を切り出して力の釣合を考えると図 2-3 のようになる。

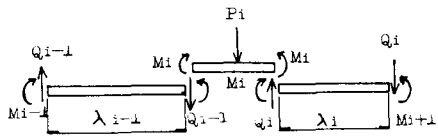


図 2-3

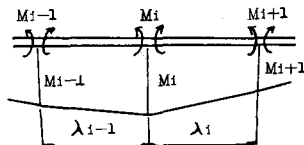


図 2-4

図 2-3 の関係を表で表わすと、 i 点における力の釣合より

$$Q_i - Q_{i-1} = -P_i \quad \dots \quad (2-1)$$

モーメントの釣合

$$M_i - M_{i-1} = Q_{i-1} \cdot \lambda_{i-1} \quad \dots \quad (2-2)$$

$$M_{i+1} - M_i = Q_i \cdot \lambda_i \quad \dots \quad (2-3)$$

(2-1)、(2-2)、(2-3) 式より Q_i 、 Q_{i-1} を消去すると次のような釣合条件が得られる。

$$\frac{1}{\lambda_{i-1}} \cdot M_{i-1} - \left(\frac{1}{\lambda_{i-1}} + \frac{1}{\lambda_i} \right) \cdot M_i + \frac{1}{\lambda_i} \cdot M_{i+1} = -P_i \quad \dots \quad (2-4)$$

(2-4) 式は荷重とモーメントとの関係式である。

次に、たわみとモーメントとの関係式を得るために三連モーメントの定理を適用すると次式が得られる。

$$\frac{1}{\lambda_{i-1}} \cdot y_{i-1} - \left(\frac{1}{\lambda_{i-1}} + \frac{1}{\lambda_i} \right) \cdot y_i + \frac{1}{\lambda_i} \cdot y_{i+1} = -\{K_{i-1} \cdot M_{i-1} + 2 \cdot (K_{i-1} + K_i) \cdot M_i + K_i \cdot M_{i+1}\} \quad \dots \quad (2-5)$$

ただし、 $K_i = \frac{\lambda_i^3}{6EI_i}$, y ; たわみ

(2-4) 式を (2-2) の各節点に適用すると、次式が得られる。

$$\left. \begin{aligned} \frac{1}{\lambda_0} \cdot M_0 - \left(\frac{1}{\lambda_0} + \frac{1}{\lambda_1} \right) \cdot M_1 + \frac{1}{\lambda_1} \cdot M_2 &= -P_1 \\ \frac{1}{\lambda_1} \cdot M_1 - \left(\frac{1}{\lambda_1} + \frac{1}{\lambda_2} \right) \cdot M_2 + \frac{1}{\lambda_2} \cdot M_3 &= -P_2 \\ \frac{1}{\lambda_2} \cdot M_2 - \left(\frac{1}{\lambda_2} + \frac{1}{\lambda_3} \right) \cdot M_3 + \frac{1}{\lambda_3} \cdot M_4 &= -P_3 \\ \vdots & \quad \vdots \quad \vdots \quad \vdots \quad \vdots \\ \frac{1}{\lambda_n} \cdot M_n - \left(\frac{1}{\lambda_n} + \frac{1}{\lambda_{n+1}} \right) \cdot M_{n+1} + \frac{1}{\lambda_{n+1}} \cdot M_{n+2} &= -P_{n+1} \end{aligned} \right\} \quad \dots \quad (2-6)$$

これをマトリックスの形で書くと次のようになる。

同様にして (2-5) 式より

$$\left. \begin{array}{l} \frac{1}{\lambda_0} y_0 - (\frac{1}{\lambda_0} + \frac{1}{\lambda_1}) \cdot y_1 + \frac{1}{\lambda_1} y_2 = -\{ K_0 \cdot M_0 + 2 \cdot (K_0 + K_1) \cdot M_1 + K_1 \cdot M_2 \} \\ \frac{1}{\lambda_1} y_1 - (\frac{1}{\lambda_1} + \frac{1}{\lambda_2}) \cdot y_2 + \frac{1}{\lambda_2} y_3 = -\{ K_1 \cdot M_1 + 2 \cdot (K_1 + K_2) \cdot M_2 + K_2 \cdot M_3 \} \\ \vdots \quad \vdots \quad \vdots \quad \vdots \quad \vdots \quad \vdots \quad \vdots \\ \frac{1}{\lambda_n} y_n - (\frac{1}{\lambda_n} + \frac{1}{\lambda_{n+1}}) \cdot y_{n+1} + \frac{1}{\lambda_{n+1}} y_{n+2} = -\{ K_n \cdot M_n + 2 \cdot (K_n + K_{n+1}) \cdot M_{n+1} + K_{n+1} \cdot M_{n+2} \} \end{array} \right\} \text{--- (2-8)}$$

が得られ、これを行列の形で書くと次のようになる。

$$\left[\begin{array}{c} -\frac{1}{\lambda_1}, \quad \frac{1}{\lambda_1} \\ \frac{1}{\lambda_1}, -\left(\frac{1}{\lambda_1} + \frac{1}{\lambda_2}\right), \frac{1}{\lambda_2} \\ \frac{1}{\lambda_2}, -\left(\frac{1}{\lambda_2} + \frac{1}{\lambda_3}\right), \frac{1}{\lambda_3} \\ \vdots \\ \frac{1}{\lambda_m}, -\frac{1}{\lambda_m} \end{array} \right] = \left[\begin{array}{c} y_1 \\ y_2 \\ y_3 \\ \vdots \\ y_m \\ y_{m+1} \end{array} \right] = \left[\begin{array}{c} 2K_1, \quad K_1 \\ K_1, \quad 2(K_1 + K_2), \quad K_2 \\ K_2, \quad 2(K_2 + K_3), \quad K_3 \\ \vdots \\ K_n, \quad 2K_n, \quad M_{n+1} \end{array} \right]$$

(2-7), (2-9) 式を次のように書き表わす。

$$D \cdot M_1 = -P \quad \dots \quad (2-10) \quad D \cdot Y = -K \cdot M_1 \quad \dots \quad (2-11)$$

$$(2-11) \text{ 式を変形すると } M_1 = -K^1 D^T Y \quad \dots \quad (2-12)$$

が得られ、これを(2-10)式の左辺に代入すると、解式として、

$$P = D \cdot K^{-1} \cdot D^T \quad \dots \dots \dots \dots \dots \dots \dots \quad (2-13)$$

が得られる。 $D \cdot K \cdot D$ のことを剛性マトリックス (Stiffness matrix) とよんでいる。実際に
は補剛トラスの剛結の条件、支点、ヒンジの有無を考慮して剛性マトリックスの修正がなされている

3 荷重の分配

補剛トラスが剛性を有するとき補剛トラス上に載荷される荷重はその一部分が桁に、他はハンガーベルトを伝わってケーブルに作用することになる。全載荷荷重に対するケーブルに作用する荷重の割合をマトリックスの形式で書いたものを分配マトリックスと呼ぶ事にする。

補剛トラスのある辺間で P_i の何重が載荷された場合、 P_i の一部 P_{si} は補剛トラスに作用し補剛トラスが変形する。この変形量を γ_i とする。残りの荷重 $P_{ci} = P_i - P_{si}$ はハンガーを伝わってケーブルに作用する。その時ハンガーは $\Delta h = h \cdot P_{ci} / E_c \cdot A_{ch}$ (h : ハンガーの長さ、 A_{ch} : ハンガーの断面積) だけ伸び、ケーブルは γ_i だけたわむ。もし、荷重分配の割合が正しければ

$$\eta_1 = \Delta h + \eta_2 \quad \dots \dots \dots \dots \dots \dots \dots \quad (3-1)$$

でなければならない、そうでない場合、たとえば

$$\eta_1 - \Delta h - \eta_2 > 0 \quad \dots \quad (3-2)$$

の時は、実際よりも余分に P_{sl} 何重をかけたことになる。そこで P_{sl} と P_{cl} の荷重の割合を修正して $\eta_1 - \Delta h - \eta_2 = 0$ となるようにすればよい。 P_{sl} と P_{cl} の割合は、補剛トラスの剛性によつて異なるのみでなく中央と端部でも異つている。

流れ図

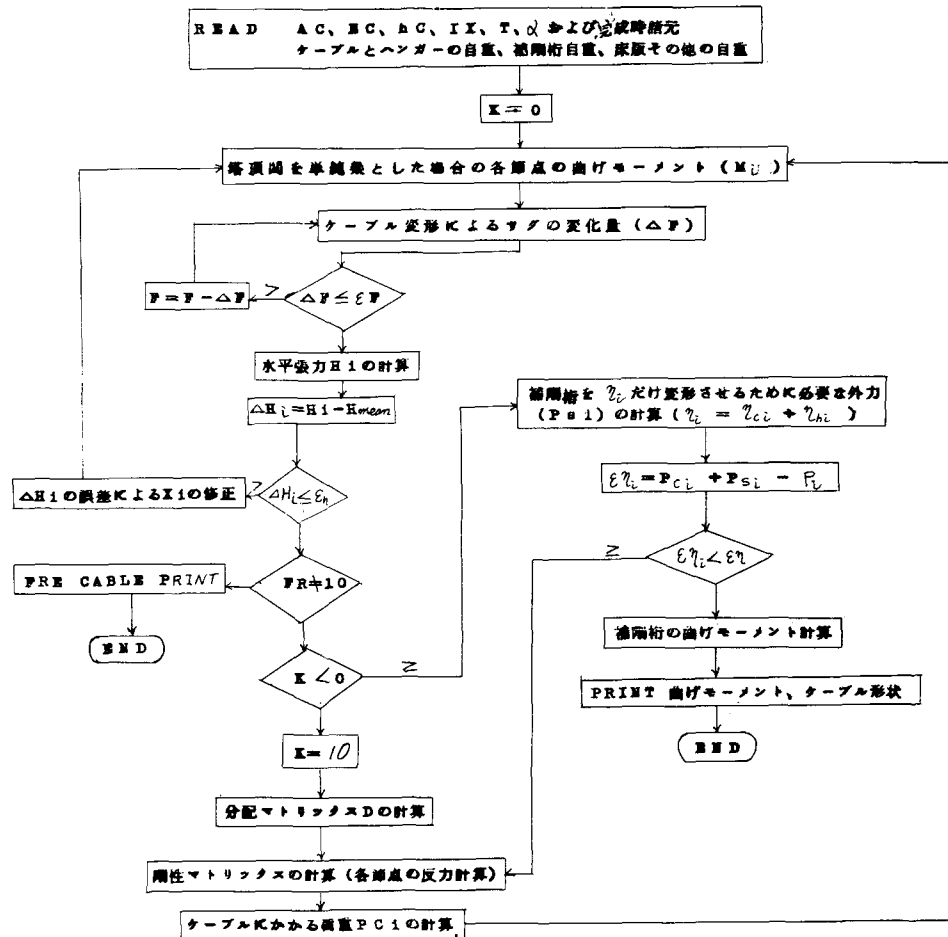
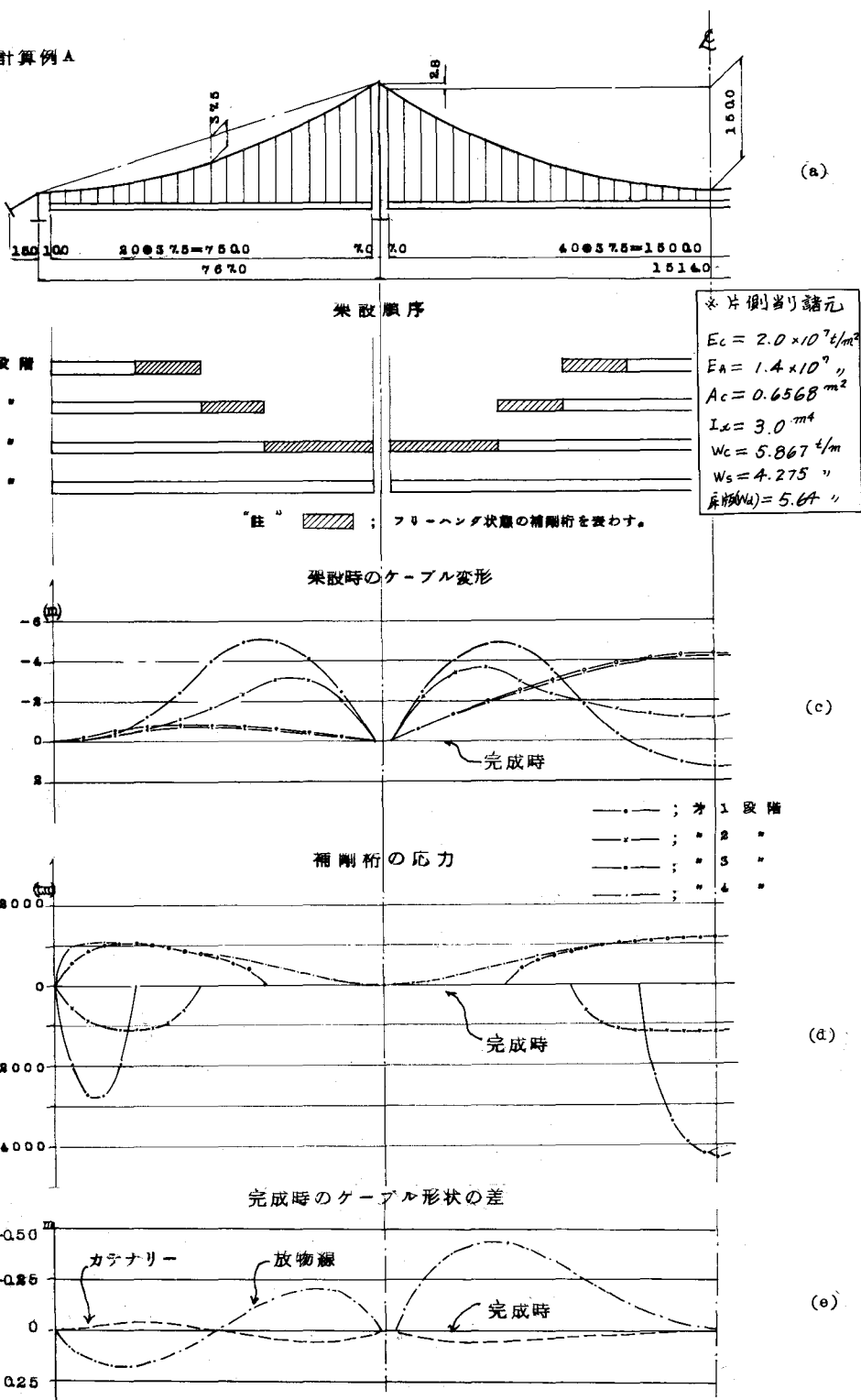


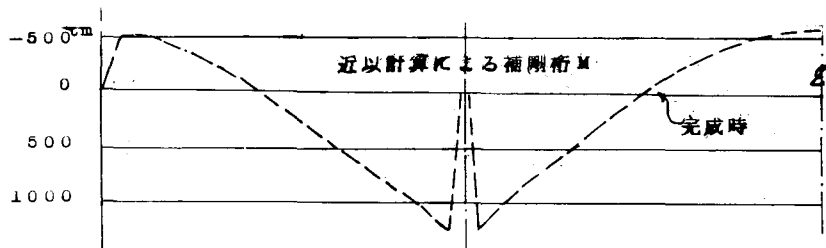
図 3-1

4 計算例

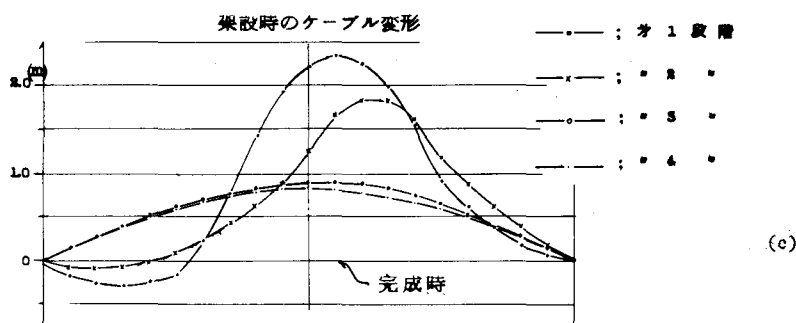
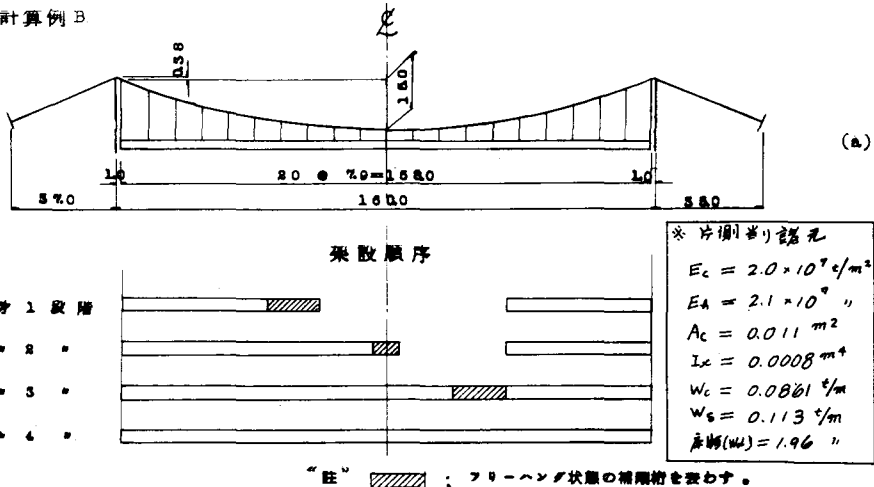
架設方法は地理的条件によつて種々考えられるが、今回は例 A、Bについてまとめて見た。例 A は図 4-1 に見られるように側往間の方はバックステー側から、中央往間は支間中央から両側に向つて順次架設した場合について、例 B では両側から同時に 3 ブロックまで架設した後左側から片押しした場合について各段階でのケーブルの変形および曲げモーメントを求めて比較検討してみた。又例 A についてはさらに無応力長の影響についても 2、3 比較して見た。

A) 計算例 A

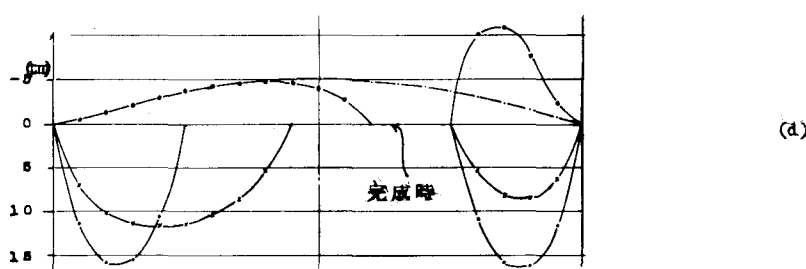




B) 計算例 B



補剛筋の応力



1) 変形と曲げモーメント

図4-1-(c)に見られるよりVC補剛桁の載荷位置と載荷量によつてはケーブルが10 m近くも変形する事がわかる。それに伴なつて塔の移動、補剛桁の破壊の難易、架設応力等に及ぼす影響は大きい。本計算例では見られないか補剛桁の架設方法および載荷位置と剛性巾によつては許容応力を上回る応力が生じる事もありうるので架設に際しては側往間のようにケーブルの変形が少ない所から漸次架設するかあるいは中央住間のように一度にたわませておいて荷設すべきかは十分検討し、架設段階での変形や応力について危険な状態にならないようにしなければならない。

2) 無応力長

架設完了時に所定の形状になり、かつ補剛桁を無応力状態にするために、見のがせないのは無応力長を如何に正確に求めるかである。一例として例Aの無応力長を決める際荷重を橋軸方向に等分布荷重と見なしして求めた無応力形状に実荷重を載荷して求めた変形の差が図4-1-(e)である。図4-1-(f)は完成時を放物線と仮定して $T_i = \frac{WL^2}{8F} \sec \theta_i$ による弾性伸びを各区間のケーブルから差し引いた値を無応力長とし、それに実荷重を載荷して求めた曲げモーメントの値である。これからもわかるようにこのような近似計算ではかなりの応力が生じる事がわかる。これと同様に完成時のハンガー間隔が所定の位置におさまるようにするためにには無応力時にマーキングしておく必要があろう。今までの計算例での完成時のケーブル形状において中小住間におけるケーブル形状はケーブル自重に比べ床版補剛桁の自重が大きい關係上殆んど放物線と見なしてもいいが、図4-1-(e)に見られる如く長径間吊橋の場合は放物線でもカテナリーでもない形状をなしている。しかし、どちらかと言えばカテナリーに近い。

以上補剛桁架設時の変形および応力解析について検討したものである。最後に、終始御援助下さつた法正大学の大地羊三教授に感謝の意を表します。

参考文献

- D. M. Brotton and G. Arnold; "The Solution of Suspension Bridge Problems by Digital Computers — Part 1," The Structural Engineer, July 1963, No.7 vol 41
- D. M. Brotton, N. W. Williamson and M. Miller; "The Solution of Suspension Bridge Problems by Digital Computers — Part 2," The Structural Engineer, April 1963, No.4 vol 41